Chemical Technology, Control and Management

Volume 2018 Issue 1 SPECIAL ISSUE 1-2

Article 9

4-28-2018

Optimization of the method of synthesis of thermoplastic copolymers based on acrylic and vinyl monomers for shoe suspended materials

A.T Ibragimov

Candidate of Chemical Sciences, Associate Professor of the Department of "Chemistry" of the Tashkent Institute of Textile and Light Industry. Tel.: +99893 509-13-20 (M.),, abdusattor.ibragimov1963@mail.ru

A.Z Mamatov

Doctor of Physics and Mathematics, professor of the Higher Mathematics department of the Tashkent Institute of Textile and Light Industry., mamatov@mail.ru

D.M Maxmanov

Candidate of technical sciences, associate professor of the department "Chemistry" of the Tashkent Institute of Textile and Light Industry., maxmanov@mail.ru

Follow this and additional works at: https://ijctcm.researchcommons.org/journal



Part of the Engineering Commons

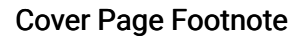
Recommended Citation

Ibragimov, A.T; Mamatov, A.Z; and Maxmanov, D.M (2018) "Optimization of the method of synthesis of thermoplastic copolymers based on acrylic and vinyl monomers for shoe suspended materials," Chemical Technology, Control and Management: Vol. 2018: Iss. 1, Article 9.

DOI: https://doi.org/10.34920/2018.1-2.49-55

This Article is brought to you for free and open access by Chemical Technology, Control and Management. It has been accepted for inclusion in Chemical Technology, Control and Management by an authorized editor of Chemical Technology, Control and Management. For more information, please contact app-tgtu@mail.ru.

Optimization of the method of synthesis of thermoplastic copolymers based on acrylic and vinyl monomers for shoe suspended materials



Tashkent State Technical University, SSC «UZSTROYMATERIALY», SSC «UZKIMYOSANOAT», JV «SOVPLASTITAL», Agency on Intellectual Property of the Republic of Uzbekistan



ISSN 1815-4840

Himičeskaâ tehnologiâ. Kontrol' i upravlenie

CHEMICAL TECHNOLOGY. CONTROL AND MANAGEMENT

2018, №1-2 (79-80) pp.49-56. https://doi.org/10.34920/2018.1-2.49-55

International scientific and technical journal journal homepage: https://uzjournals.edu.uz/ijctcm/



Since 2005

УДК 686.685.315:541.64:678.681.5

А.Т.ИБРАГИМОВ, А.З.МАМАТОВ, Д.М.МАХМАНОВ (ТИТЛП)

ОПТИМИЗАЦИЯ МЕТОДИКИ СИНТЕЗА ТЕРМОПЛАСТИЧНЫХ СОПОЛИМЕРОВ НА ОСНОВЕ АКРИЛОВЫХ И ВИНИЛОВЫХ МОНОМЕРОВ ДЛЯ ОБУВНЫХ ПОДОШВЕННЫХ МАТЕРИАЛОВ

Пойабзал таг материаллари учун термопластик сополимерларни синтезлаш услубини оптималлаштириш мақсадида, акрил ва винил мономерлари иштирокидаги жараённинг математик модели яратилган. Бошлангич мономерларнинг оптимал нисбатларида ва қайта ишлашнинг термик шароитларидаги сополимерланишнинг кинетик параметрлари тадқиқ этилган. Сополимерлашнинг кириш ва чиқиш параметрли гетероген фазада борувчи жараённинг регрессив тенгламалари олинган. Олинган маълумотларнинг тавсифларини солиштирма тахлили амалга оширилган.

Таянч сўзлар: оптималлаштириш, синтез, сополимер, акрилонитрил, бутилметакрилат, винилацетат, зичлиги паст полиэтилен, толуол (ксилол), пойабзал таглик материали.

В целях оптимизации методики синтеза термопластичных сополимеров для обувных подошвенных материалов создана математическая модель процесса с участием акриловых и виниловых мономеров. Исследованы кинетические параметры сополимеризации при оптимальном содержании исходных мономеров и термическом режиме переработки. Получены регрессивные уравнения процесса, протекающего в гетерогенной фазе с входными и выходными параметрами сополимеризации. Выполнен сравнытельный анализ характеристик полученных данных.

Ключевые слова: оптимизация, синтез, сополимер, акрилонитрил, бутилметакрилат, винилацетат, полиэтилен низкой плотности, толуол (ксилол), обувной подошвенный материал.

In order to optimize the synthesis of thermoplastic copolymers for shoe sole materials, a mathematical model of the process involving acrylic and vinyl monomers has been developed. The kinetic parameters of copolymerization at the optimum content of initial monomers and the thermal processing regime are investigated. The regressive equations of the synthesis process, which takes place in the heterogeneous phase with incoming factors and outgoing copolymerization parameters, are calculated. The comparative parameters of optimization of the synthesis process, as well as the molecular characteristics and structure of copolymers with the optimal composition, are estimated mathematically by the data obtained.

Key words: optimization, synthesis, copolymer, acrylonitrile, butyl methacrylate, vinyl acetate, low density polyethylene, toluene (xylene), shoe sole material.

Варьирование состава микрогетерогенной системы позволяет управлять структурой образующегося в гибкой фазе сополимера, возникающих в равновесных условиях распределением мономеров и конформацием макрорадикалов. Существует ряд гетерофазных процессов синтеза сополимеров, где химические реакции происходят на относительно больших пространственновременных масштабах, во много раз превышающих размеры отдельных макромолекулярных клубков. В этих условиях химические процессы осложнены диффузионными явлениями, полностью меняющими механизм образования сополимера [1].

Обратится к результатам локального математического моделирования межфазных и межмолекулярных взаимодействий процессов сополимеризации полимерных подошвенных материалов, которые происходят в двухфазных системах жидкость-жидкость или жидкость-гель. Локальная математическая модель разработана для случая процесса сополимеризации, в котором не учитывалась возможность циклизации и обрыва цепи, следовательно, выполняется принцип равной

реакционной способности функциональных групп, и скорости диффузии молекул одинаковой степени полимеризации равны. В соответствии с теорией пограничного диффузионного слоя в приближении кратковременного контакта фаз эти параметры представляют собой бесконечную систему дифференциальных диффузионно-кинетических уравнений, описывающую конвективную диффузию, где химическое взаимодействие мономеров и изменения по отношению расположения активных центров в макромолекулярной цепи происходят вблизи в межфазовом пространстве [2]:

$$w_{x}^{9\phi\phi} \frac{\partial c_{i}}{\partial x} = D_{i} \frac{\partial^{2} c_{i}}{\partial y^{2}} + j_{c,i},$$

$$w_{x}^{9\phi\phi} \frac{\partial b_{i}}{\partial x} = D_{i} \frac{\partial^{2} b_{i}}{\partial y^{2}} + j_{b,i}.$$

$$j_{c,i} = k_{n} \left(\sum_{k=1}^{i-1} c_{k} b_{i-k} \left[l(k) - l(i-k) + 1 \right] - \sum_{j=1}^{\infty} c_{i} b_{j} l(i) - \sum_{j=1}^{\infty} b_{i} c_{j} \left[2 - l(i) \right] \right),$$

$$j_{b,i} = k_{n} \left(\sum_{k=1}^{i-1} b_{k} c_{i-k} \left[l(k) - l(i-k) + 1 \right] - \sum_{j=1}^{\infty} b_{i} c_{j} l(i) - \sum_{j=1}^{\infty} c_{i} b_{j} \left[2 - l(i) \right] \right),$$

$$l(i) = \begin{cases} 1, & i/2 \in \mathbb{Z}; \\ 2, & i/2 \notin \mathbb{Z}. \end{cases}$$

$$(1)$$

Начальные и граничные условия имеют вид:

$$x = 0, y \ge 0;$$
 $b_1 = b_1^0, c_i = b_{i-1} = 0.$ (2)

$$x > 0, y = 0; c_1 = c_1^*, \frac{\partial b_i}{\partial y} = \frac{\partial c_{i>1}}{\partial y} = 0,$$

$$x > 0, y \to \infty; b_1 = b_1^0, c_i = b_{i>1} = 0,$$
(3)

где x, y – координаты продольной и нормальной слоев фазы соответственно, $m; w_x^{9\phi\phi}$ – эффективная скорость движения реакционной фазы в продольном направлении, M/C; i – степень сополимеризации молекулы, равная числу входящих в неё мономерных звеньев (для мономеров i=1, для макромолекул i>1); c_i , b_i –концентрация фибриальных молекул степени сополимеризацииi в реакционной фазе, $моль/м^3$; c_1^* — равновесная концентрация мономера транспортной фазы на межмолекулярном слое, $моль/м^3$; b_1^0 — концентрация мономера реакционной фазы в объёме последней, моль/м³; D_i – коэффициент диффузии молекулы степени сополимеризацииi, M^2/c ; $j_{b,i}$, $j_{c,i}$ — скорости химических реакций; k_n — константа скорости взаимодействия ингредиентов, $m^3/(моль \cdot c)$; Z- множество целых чисел;l- параметр, позволяющий учесть, что макромолекулы с четной степенью сополимеризации имеют разные фиброглобулы, а с нечетной - одинаковые.

Граничные условия (3) предполагают, что на границе раздела мгновенно устанавливается равновесие по переносимому мономеру c [3].

Нелинейная система уравнений (1) решалась численно. Условия процесса сополимеризации концентрационным, кинетическим диффузионным безразмерными характеризовались параметрами:

$$M = b_1^0 / c_1^* \,, \tag{4}$$

$$M = b_1^0 / c_1^* , (4)$$

$$R = \sqrt{\pi k_n b_1^0 x / (4 w_x^{9 \phi \phi})} = \sqrt{k_n b_1^0 D_1} / \beta , (5)$$

$$r_i = D_i/D_1, (6)$$

где β – коэффициент физической массоотдачи по мономеру c в реакционной фазе, m/c; параметр M характеризует соотношение мономеров в зоне реакции, R – соотношение скоростей сополимеризации и массопереноса, r_i – соотношение коэффициентов диффузии сополимерных фракций и их зависимость от длины макромолекул.

В результате решения системы (1) найдены основные характеристики сополимеризации в широком диапазоне условий, необходимые как для анализа закономерностей процесса, так и для последующего макрокинетического моделирования [4].

Установлено, что протеканию процесса привитой сополимеризации вблизи межфазового состояния способствует увеличение скорости сополимеризации по сравнению с интенсивностью массопереноса (R) и снижению растворимости переносимого мономера в реакционной фазе (повышение M).

Показано (рис. 1), что среднечисловая (\overline{P}_n) и среднемассовая (\overline{P}_w) степень сополимеризации, не зависит от мольного соотношения мономеров (M). Условия синтеза сополимеров с высокой молекулярной массой и узким диапазоном молекулярно-массового распределения (MMP), возможны лишь в режиме мгновенной реакции (при R>50), в котором оптимальное соотношение мономеров в несколько раз превышает эквимольное значение (M=1), и его величина зависит от соотношения скоростей сополимеризации и массопереноса (R).

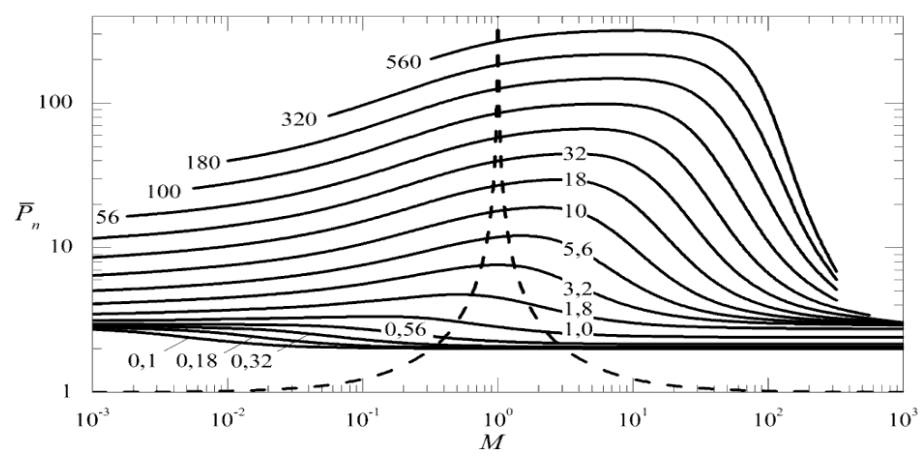


Рис. 1. Зависимость среднечисловой степени сополимеризации от мольного соотношения мономеров в зоне реакции при разных значениях относительной скорости реакции, R; пунктиром обозначена аналогичная зависимость для гомогенной системы в пределе $R \rightarrow \infty$.

Кроме того, в соответствии с экспериментом, на молекулярную массу сополимера, синтезируемого вблизи межфазового слоя, слабее влияют не только мольное соотношение, но и концентрации мономеров, а также скорость и длительность процесса сополимеризации. В частности, при межмолекулярном распределении и межфазовом взаимодействии молекул математическая модель имеет вид

$$\overline{P}_n \propto R^{0.5 + 1.8} \propto (k_n b_1^0 t_D^0)^{0.25 + 0.9},$$
 (7)

где t_D — время диффузии, близкое к длительности сополимеризации вблизи межфазового слоя $(t_D = D_I/\beta^2)$, тогда как при гомофазной сополимеризации уравнения принимает вид

$$\overline{P}_n \propto k_n b_1^0 t \,, \tag{8}$$

где t - длительность сополимеризации.

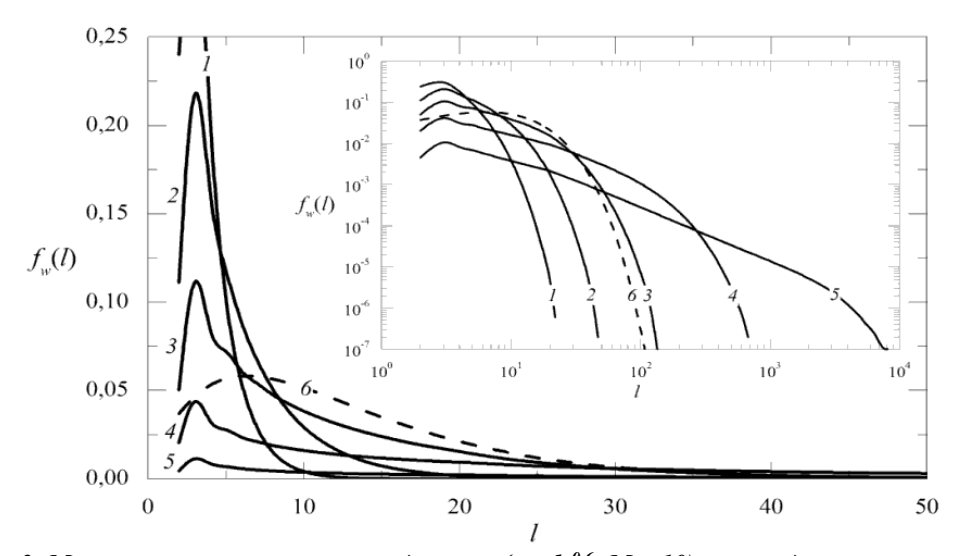
Установлено (рис. 2), что в пределе $M \to \infty$, соответствующем сополимеризации во внешней диффузионной области, $\overline{P}_n \to 3$, т.е. в этом режиме в межфазовом слое образуются только

олигомеры. Это — наглядное подтверждение того, что межмолекулярное и межфазовое взаимодействия различных молекул строго контролируются внешней их диффузией, которая не наблюдается экспериментально.

Рассчитанное значение ММР приближённо описывается экспоненциальным распределением $f_w(i) = \exp(-i/\overline{P_w})/\overline{P_w}$, которое наблюдается экспериментально. Установлено, что коэффициент полидисперсности синтезируемого сополимера пропорционален степени его сополимеризации и может значительно превышать значение K_n =2, характерное для распределения Флори.

Изучено влияние подвижности макромолекул на ход межфазной гетерогенной сополимеризации. Для этого использовались несколько моделей диффузии: модель Зима, описывающая динамику гибких полимерных цепей, а также полуэмпирические выражения, учитывающие поведение жёстких макромолекул, размеры которых сопоставимы с длиной статистического сегмента. В результате обнаружено, что для полностью гибких сополимеров и жестких молекул с характеристическим отношением (отношением длины сегмента Куна к контурной длине повторяющегося звена) c_{∞} =5 результаты расчета степени сополимеризации различаются не более чем на 10%, в то время как характеристики массопереноса (γ и X_c) практически совпадают.

Рассчитанные значения ММР (рис. 2), и результаты обработки статических данных свидетельствую наиболее широком распределение Флори, которое характерно для гомогенных систем. Высокое содержание в составе смеси низкомолекулярных фракций и наибольшая ширина диапазона ММР, вызваны тем, что в межфазовом состоянии реакций системы полимер-мономер преобладают над взаимодействиями этой системы.



 $Puc.\ 2.\$ Молекулярно-массовое распределение ($r_i=l_i^{-0.6},\ M=10$) при следующих условиях: (1) - $R=1.84,\ P_n=3.08;\ (2)$ - $R=3.16,\ P_n=4.04;(3)$ - $R=5.41,\ P_n=6.29;\ (4)$ - $R=10.0,\ P_n=13.8;\ (5)$ - $R=32.0,\ P_n=54.0.\$ Кривая (6) - распределение Флори для $P_n=6.29.$

Изучена макрокинетика межфазового распределения молекул в периодическом реакторе смешения (или непрерывном реакторе вытеснения). Подобное исследование выполнено непосредственно на основе результатов локального моделирования. В основу модели положено представление об одновременном протекании сополимеризации в объёме реакционной фазы, что позволяет построить универсальную макрокинетическую модель, описывающую процесс в кинетической, внутри- и внешнедиффузионной областях, а также в переходных режимах. С помощью этой модели изучена зависимость концентраций мономеров, а также выхода сополимера

и среднечисловой степени сополимеризации от различных факторов, включая соотношения и концентрации мономеров, скорости массопередачи и массоотдачи, коэффициент распределения мономера c и соотношение объемов фаз в гидродинамических и кинетических условиях, типичных для сополимеров с гетерогенной структурой.

В результате показано, что за время сополимеризации происходит смена лимитирующей стадии процесса, обычно не учитываемого при анализе экспериментальных результатов. Установлено, что направление смены лимитирующей стадии определяется начальным мольным соотношением мономеров. При недостатке мономера реакционной фазы процесс переходит в кинетическую область, тогда как при его избытке – во внешнюю диффузионную область. Однако, при мольном соотношении, близком к единице, ситуация не столь однозначна. Так, если межмолекулярное распределение начинается во внешней диффузионной области, где у синтезируемого сополимера образуются трехмерные структуры с преобладающим содержанием остатков мономера транспортной фазы, которые исчерпывается вдвое быстрее. В результате соотношение мономеров в начале процесса сополимеризации превышает число единиц, с течением времени становится меньше единицы, что приводит к переходу во внутри диффузионную и затем в кинетическую область.

Таким образом, снижение и рост степени сополимеризации, являются признакам межмолекулярного взаимодействия во внутри диффузионных и кинетических областях соответственно, а образование олигомеров – признаком внешнего диффузионного контроля.

Основной реакцией роста в кинетической области является взаимодействие макромолекул, имеющих фазовые области на поверхности раздела фаз типа b, с мономером c, диффундирующим из транспортной фазы. Для степени сополимеризации, достигаемой к моменту исчерпания межфазовых слоев b, получено математическое выражение

$$\overline{P} = 1 + 2b_1^0 \sqrt{\pi k_n \frac{k_R^{-1} + (v_{T/R} K_{T/R} k_T)^{-1}}{c_1^{T,0} (1 - M_0) / K_{T/R}}},$$
(9)

где b_1^0 , $c_1^{T,0}$ — начальные концентрации мономеров реакционной и транспортной фазы, $monb/m^3$; k_n — константа скорости сополимеризации, $m^3/(monb\cdot c)$; $v_{T/R}$ — соотношение объемов транспортной и реакционной фаз; $K_{T/R}$ — коэффициент распределения мономера c между транспортной и реакционной фазами; k_R , k_T — объемные коэффициенты массоотдачи в соответствующих фазах, c^{-1} ; M_0 — начальное мольное соотношение мономеров ($M_0 = b_1^0/(v_{T/R}c_1^{T,0})$).

Как видно из выражения (9), при полной растворимости гранулы полиолефина (ПЭНП) в реакционной фазе в результате гетерофазнойсополимеризации к моменту её завершения в кинетической области не зависят от закономерностей сополимеризационного процесса вблизи межфазового равновесия. Поэтому резкое изменение степени сополимеризации под влиянием соотношения мономеров не является достаточным признаком протекания процесса в кинетической области в течение всего синтеза.

Из рис. З очевидно, что выражение (9) не совпадает с правилом неэквимольности и предсказывает о возможности получения сополимера в широком интервале мольных соотношений, которое характеризуется более узким ММР и высокой молекулярной массой. Экспериментально наблюдаемые зависимости \overline{P} от $b_1^0, c_1^{T,0}$ и M_0 согласуются с выражением (9) в области низких концентраций.

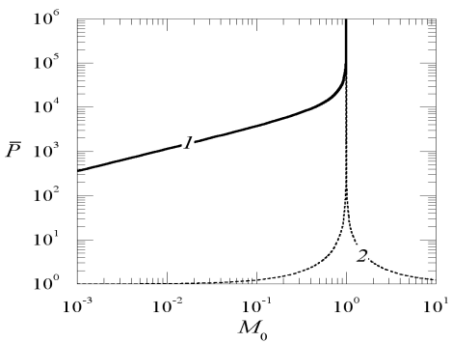
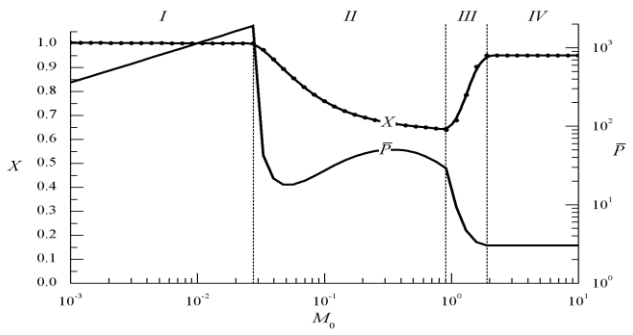


Рис. 3. Зависимость среднечисловой степени сополимеризации от мольного соотношения мономеров при гетерофазной (1) (по уравнению (9)) и при гомогенной (2) сополимеризации (по правилу неэквимольности).

Зависимость степени сополимеризации и выхода (X) от мольного соотношения мономеров (рис. 4) можно условно разделить на четыре области. В области I процесс сополимеризации завершается за время синтеза, степень сополимеризации описывается уравнением (9), а X = 1.

Изучено влияние межмолекулярного и межфазового взаимодействия на скорость массоотдачи. Показано, что интенсификация массопереноса ускоряет исчерпывание мономера реакционной фазы и ведёт к расширению области синтеза высокополимера (областы I) в сторону эквимольного соотношения мономеров. В то же время перемешивание снижает молекулярную массу, степени сополимеризации, образующегося гомо - и гетерополимера, падает за счёт уменьшения мгновенного значения R (относительной скорости сополимеризации по сравнению со скоростью диффузии), а в объёме реакционной фазы — в результате увеличения потока переносимого мономера в реакционную фазу.

В переходной области II продолжительность синтеза меньше времени, необходимого для завершения процесса полимеризации. Поэтому выход здесь меньше единицы. Степень сополимеризации в области II определяется соотношением интенсивностей полимеризационного процесса вблизи границы раздела и в объёме реакционной фазы. Закономерности полимеризации у гомополимера проявляются здесь в виды пологой зависимости \overline{P} от M_0 . На основании уравнении (9) строили графические диаграммы (рис. 4). Область III - переходная между внутри- и внешне диффузионной сферой. Область IV — внешнедиффузионная. По названным выше причинам молекулярная масса образующегося здесь полимера мала, однако выход может превышать единицу, поскольку рассчитывается по мономеру. Оптимальным является избыток мономера транспортной фазы, препятствующий переходу во внешнюю диффузионную область и прекращению процесса сополимеризации.



 $Puc.\ 4.\ 3$ ависимость среднечисловой степени сополимеризации и выхода (X) от мольного соотношения мономеров при безразмерной продолжительности сополимеризации $k_n b_1^0 t = 1$ (t - время). Начальная концентрация мономера реакционной фазы $b_1^0 = \mathrm{const.}$

Экспериментально установлено, что влияние перемешивания на степень сополимеризации неоднозначно и зависит от соотношения мономеров. Однако наибольшая степень сополимеризации и выход продукта достигаются в кинетической области. Увеличение концентраций мономеров в кинетической и внутри диффузионной области монотонно повышает степень сополимеризации и её выход. В частности изучены закономерности кинетики распределения реагирующих компонентов при эквимольном соотношении мономеров, наиболее характерном для экспериментальных исследований влияния концентраций на скорость протекания процесса сополимеризации (рис. 5). Показано, что степень сополимеризации определяется в основном закономерностями процессов, протекающих вблизи межфазового слоя. Продемонстрировано, что при изменении концентраций мономеров в пределах одного порядка зависимость степени сополимеризации от этих концентраций соответствует степенной функцией вида $\overline{P} \sim (b_1^0)^\alpha$, где $\alpha = 0\div 0,6$. Анализ экспериментальных данных по синтезу сополимеров при низких концентрациях (порядка 100 моль/м^3) в системе толуол-ксилол даёт степенную зависимость $\overline{P} \sim b_0^\alpha$ с показателем степени $\alpha = 0.57$ и $\alpha = 0.33$ (рис. 5), что качественно подтверждает результаты вычислительного эксперимента [5].

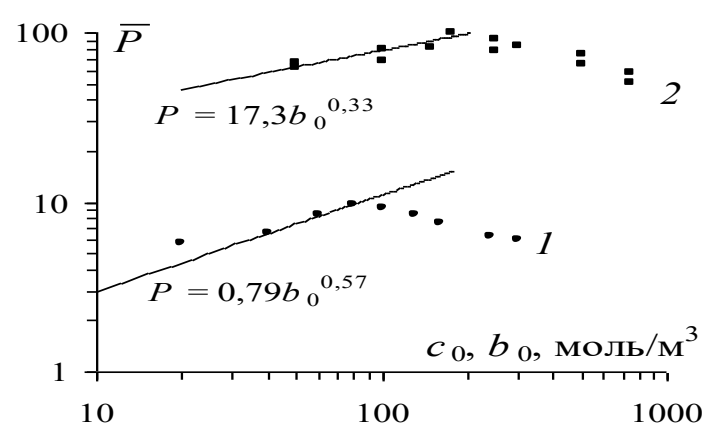


Рис. 5. Экспериментальные зависимости среднечисловой степени сополимеризации от концентраций мономеров:

1 - по данным $P=0.79\;b_o^{0.57};\;2$ - по данным $P=17.3\;b_o^{0.33};\;$ точками обозначены характеризующие эксперименты, проведенные методом наименьших квадратов.

Таким образом, по результатам проведенных моделирования и обработки экспериментальных данных методами математической статистики установлено, что область мольных соотношений, где процесс сополимеризации завершается за время синтеза, соответственным образом пропорционально увеличивается и концентрации мономеров и скорость сополимеризации, которая обратно пропорциональна коэффициенту распределения переносимого мономера и соотношению объёмов транспортной и реакционной фазы. Первые два вышеупомянутых фактора способствуют ускорению процесса сополимеризации, а вторые два – напротив, замедляют процесс, поскольку снижают движущую силу массопереноса и массоотдачи.

Список литературы:

- 1. A.V.Bere'zkin, "Matematicheskoe modelirovanie kinetiki neravnovesnoy geterofaznoy sistemy'", [Mathematical modeling of the kinetics of an uneven heterophase system], TvGU, Tver', 2001, 120 p (in Russian).
- 2. YU.G.Papulov, V.A.Nikiforov, "Modelirovanie mejfaznov polimerizacii" [Modeling of interfacial polymerization], *Izvestiya vuzov. Himiya i himicheskaya tehnologiya*, vol.43, no. 5, pp. 65-68, 2000. (in Russian).
- 3. O.A.Balashova, A.V.Berezkin, P.G.Halatur, A.R.Hohlov "Modelirovanie molekulyarnogo uznavaniya sopolimerov regulyarny'mi poverhnostyami" [Modeling of molecular recognition of copolymers by regular surfaces] *Sb. statey. Struktura i dinamika molekulyarny'h sistem:* Vy'p. XIII, CH. I. Ufa: IFMK UNC RAN, pp. 64-68, 2006.

- 4. A.V.Bere'zkin, O.A.Balashova, T.N.Dolgova, P.G.Halatur, A.R.Hohlov, "Komp'yuterny'y sintez sopolimerov, raspoznayusch'ih regulyarny'e poverhnosti" [Computer synthesis of copolymers that recognize surface regularity], *Sb. statey. Struktura i dinamika molekulyarny'h sistem:* Vy'p. XIII, CH. I. -Ufa: IFMK UNC RAN, pp. 102-107, 2006. (in Russian).
- 5. A.Artikov, "Komp'yuterny'e metody' analiza i sinteza himiko-tehnologicheskih sistem; Uchebnik dlya magistrantov tehnologicheskih special'nostey" ["Computer methods of analysis and synthesis of chemical and technological systems; textbook for undergraduates of technical specialties"] Ministerstvo vy'sshego i srednego special'nogo obrazovaniya Respubliki Uzbekistan. –Tashkent: «VORIS-NASHRIYOT», 2012, 160 p. (in Russian).

Ибрагимов Абдусаттар Тургунович – кандидат химическых наук, доцент кафедры «Химия» Ташкентского института текстильной и легкой промышленности.

Тел.: +99893 509-13-20 (м.), E-mail: abdusattor.ibragimov1963@mail.ru;

Маматов Алишер Зуллунович – доктор физика-математических наук, профессор кафедры «Высшая математика» Ташкентского института текстильной и легкой промышленности. E-mail: <u>mamatov@mail.ru</u>; Махманов Дониёр Махманович – кандидат технических наук, доцент кафедры «Химия» Ташкентского института

махманов дониер махманович – канойоат технических наук, ооцент кафеоры «лимия» Ташкентского института текстильной и легкой промышленности. E-mail: <u>maxmanov@mail.ru</u>.